

Busca por Metabólitos Secundários na Espécie *Erythroxylum rimosum* O. E. Schulz

Jociano S. Lins,^{a,*} Ana Rita R. A. Silva,^a César A. G. Dantas,^a Marcelo C. Duarte,^b Ana Paula N. Prata,^b Raimundo Nonato da Silva Filho,^a Josean F. Tavares,^a Marcelo S. da Silva,^a Vicente Carlos O. Costa.^a

^a Universidade Federal da Paraíba, Instituto de Pesquisa em Fármacos e Medicamentos, Programa de Pós-Graduação em Produtos Naturais e Sintéticos Bioativos, Campus I, CEP 58051-900, João Pessoa-PB, Brasil.

^b Universidade Federal de Sergipe, Centro de Ciências Biológicas e da Saúde, Departamento de Biologia, CEP 49100-000, São Cristóvão-SE, Brasil

* jociano.ejc2012@gmail.com

Material suplementar

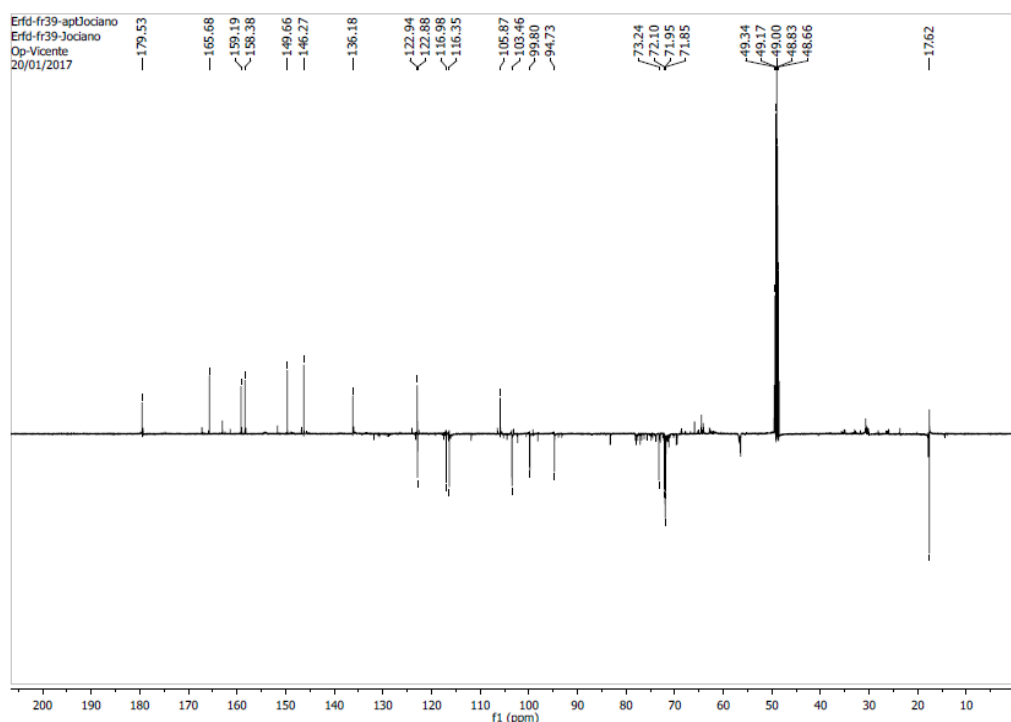


Figura 1. Espectro de RMN de ¹³C (CD₃OD, 125 MHz) de Er-1

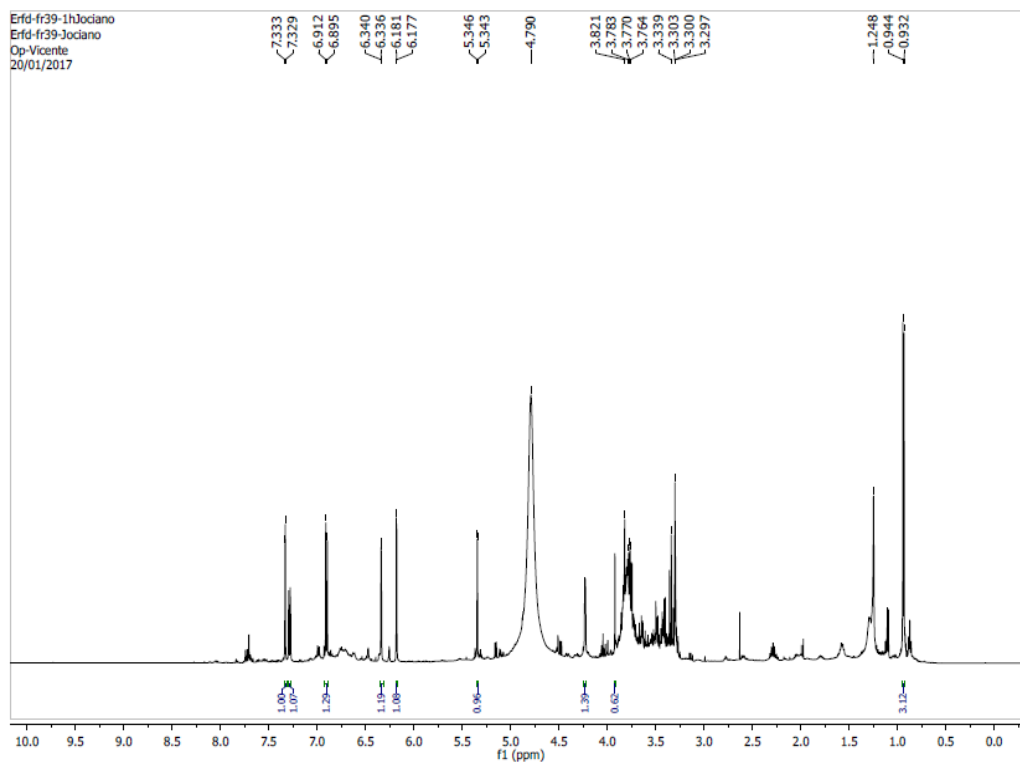


Figura 2. Espectro de RMN de ^1H (CD_3OD , 500 MHz) de Er-1

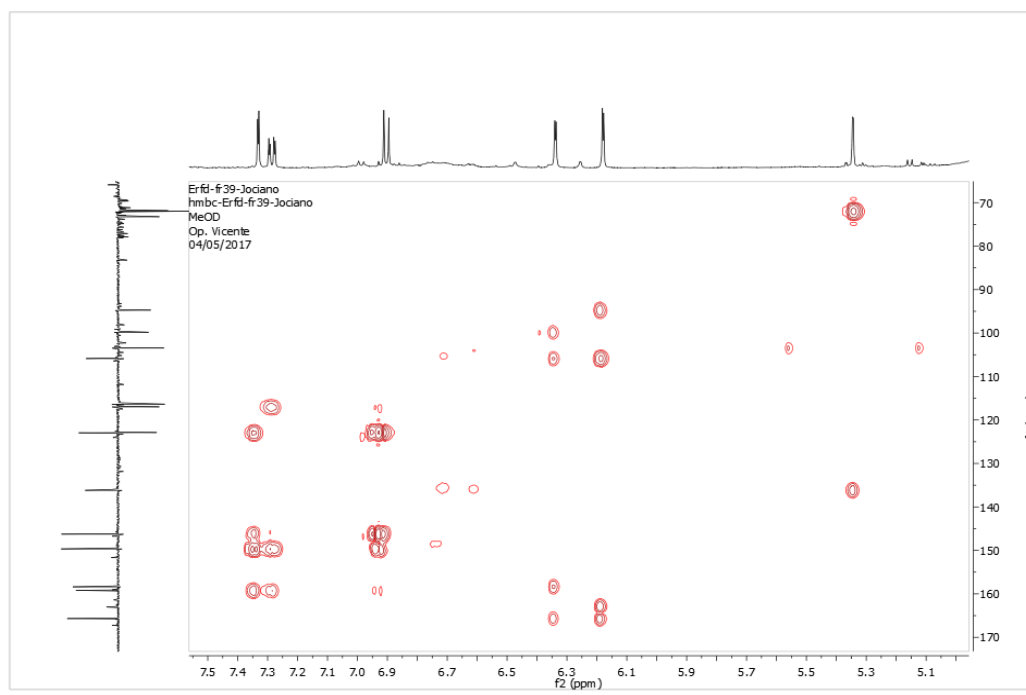


Figura 3. Mapa de contorno HMBC da substância Er-1 (CD_3OD , 500 e 125 MHz)

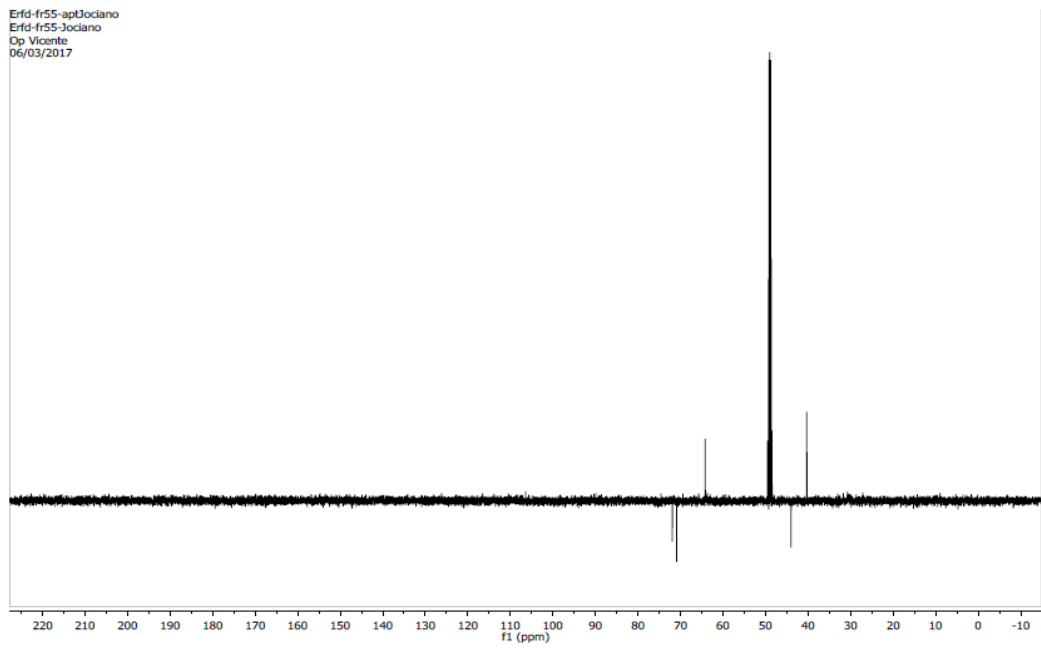


Figura 4. Espectro de RMN de ^{13}C (CD_3OD , 125 MHz) de Er-2

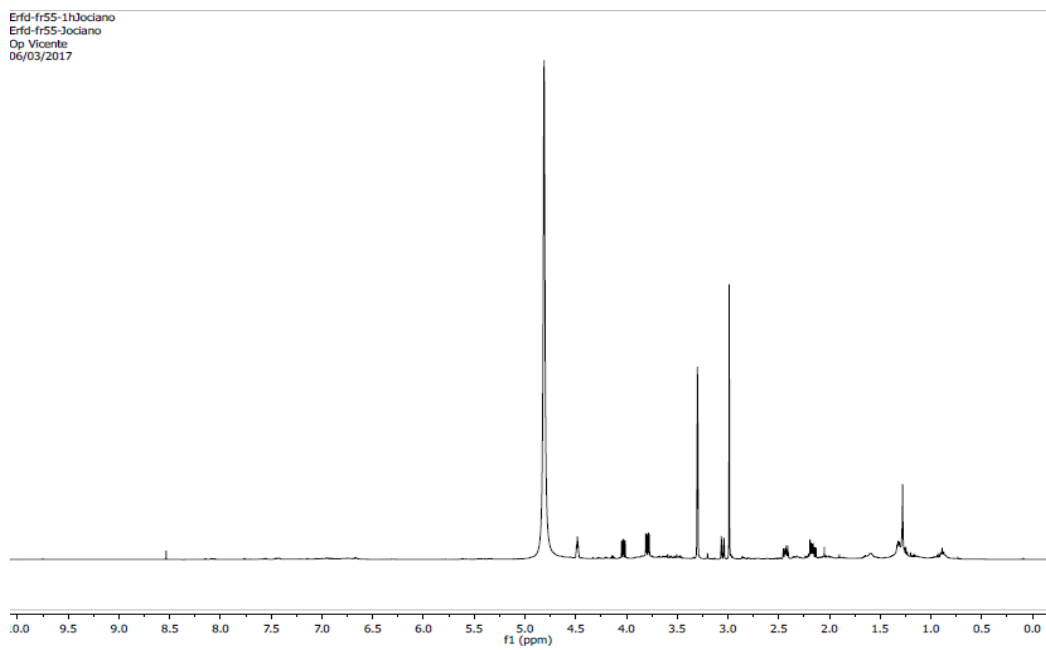


Figura 5. Espectro de RMN de ^1H (CD_3OD , 500 MHz) de Er-2

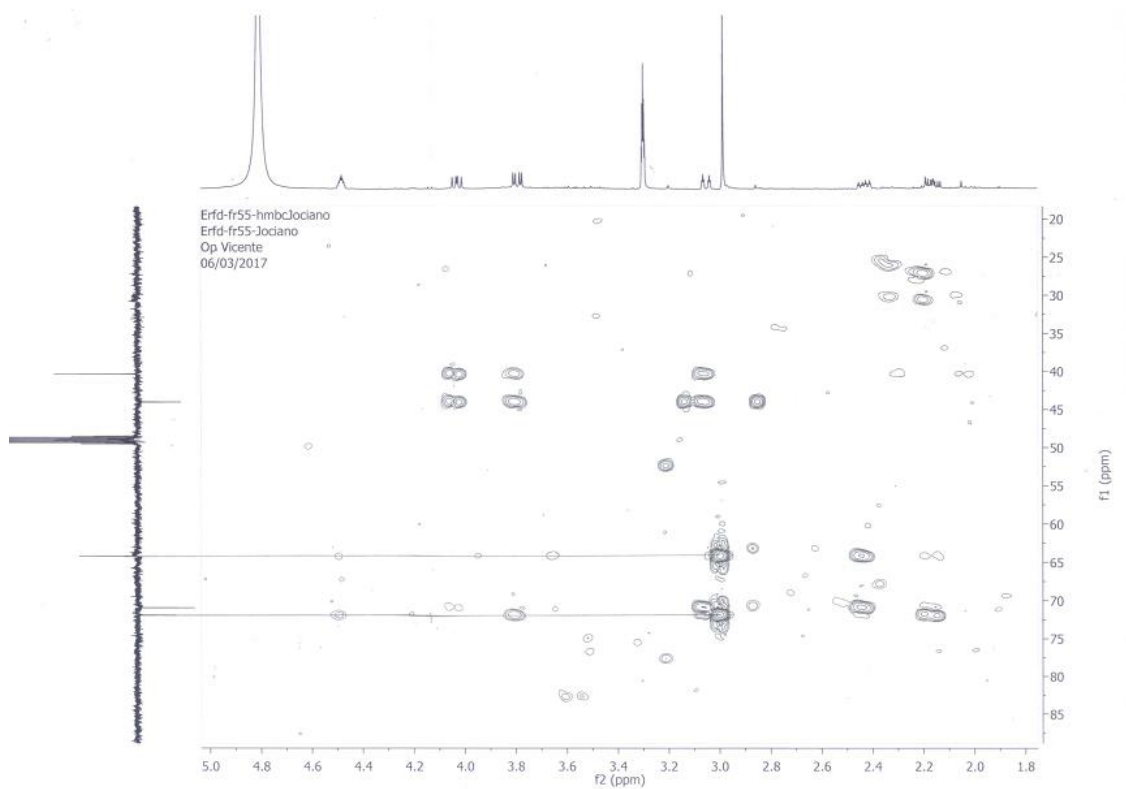


Figura 6. Mapa de contorno HMBC da substância Er-2 (CD₃OD, 500 e 125 MHz)

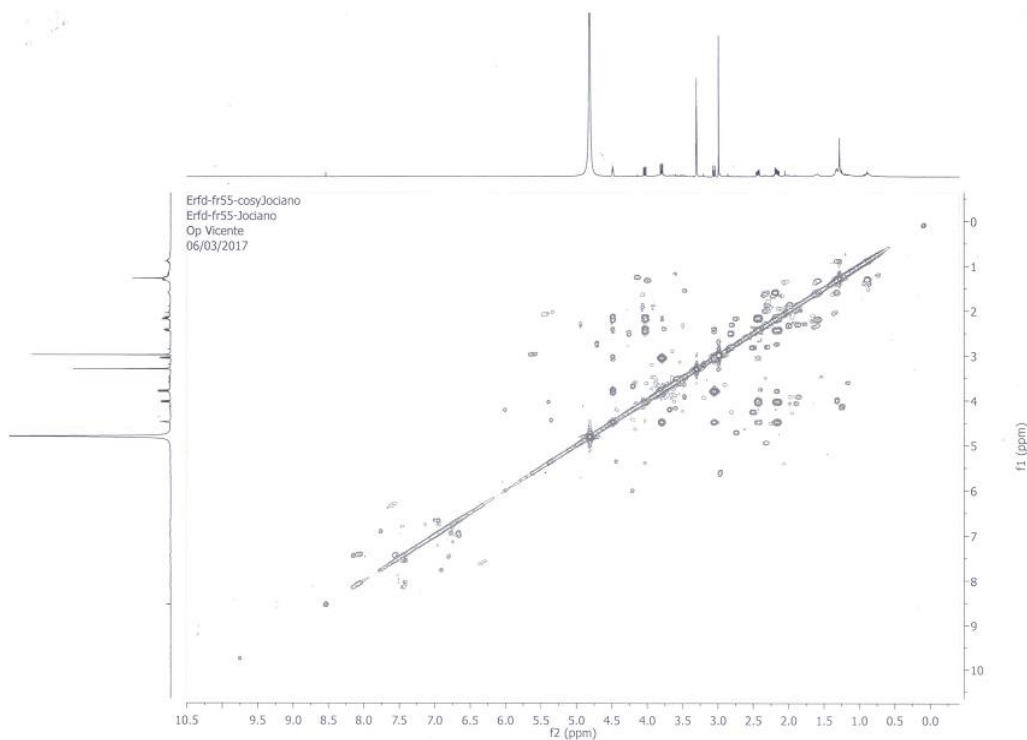


Figura 7. Mapa de contorno COSY da substância Er-2 (CD₃OD, 500 MHz)